

Fig. 1 Okuyama, et al.

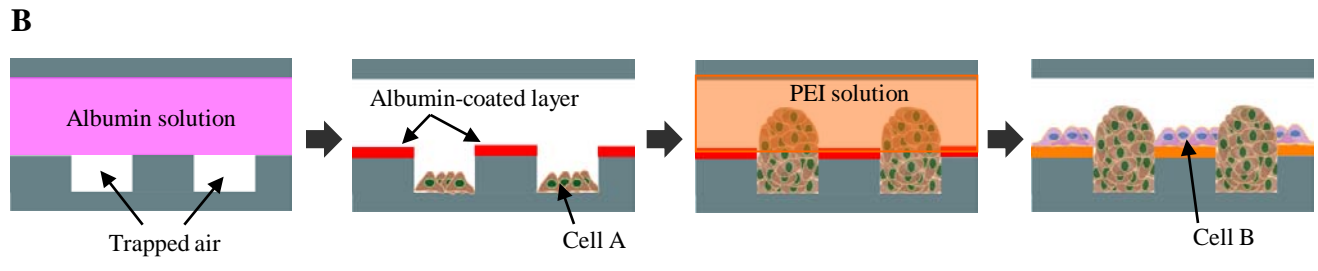
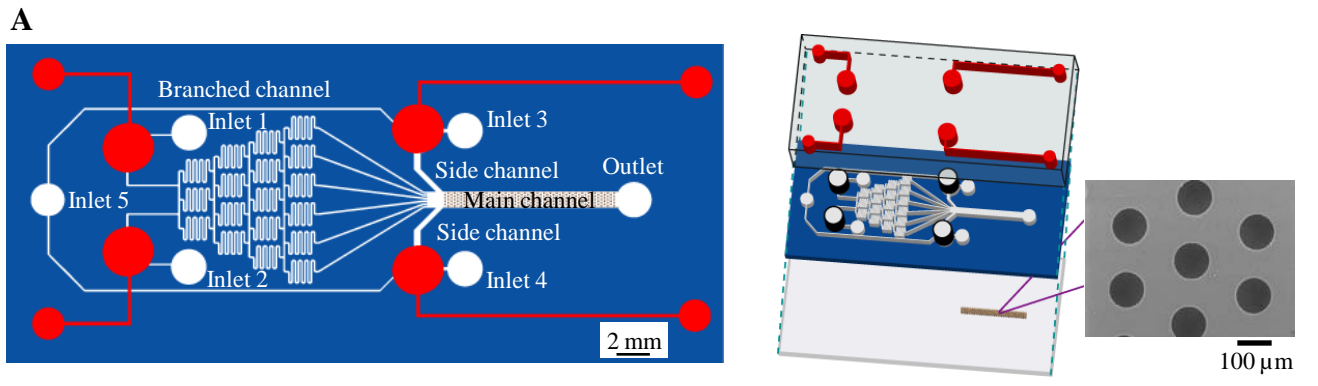


Fig. 2 Okuyama, et al.

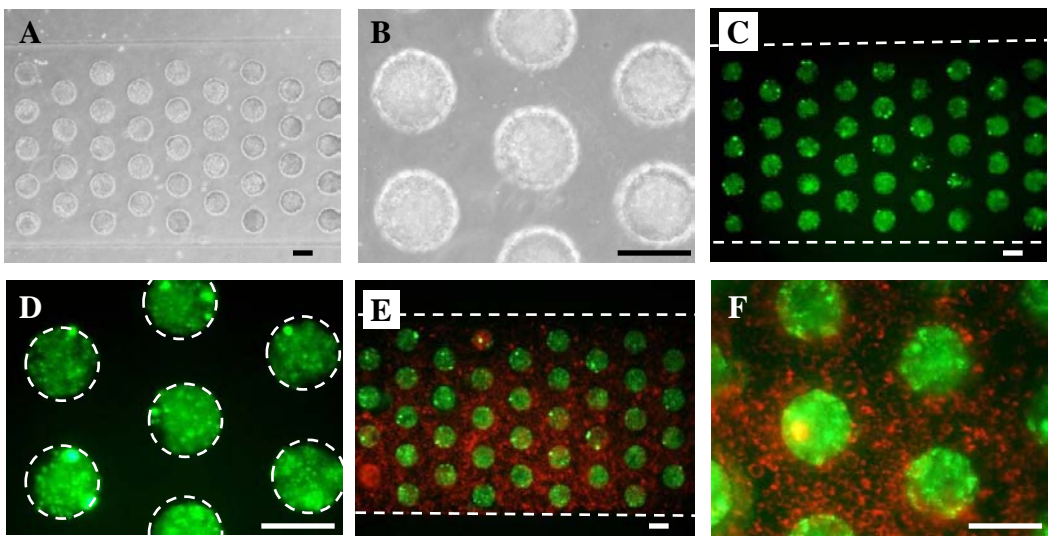


Fig. 3 Okuyama, et al.

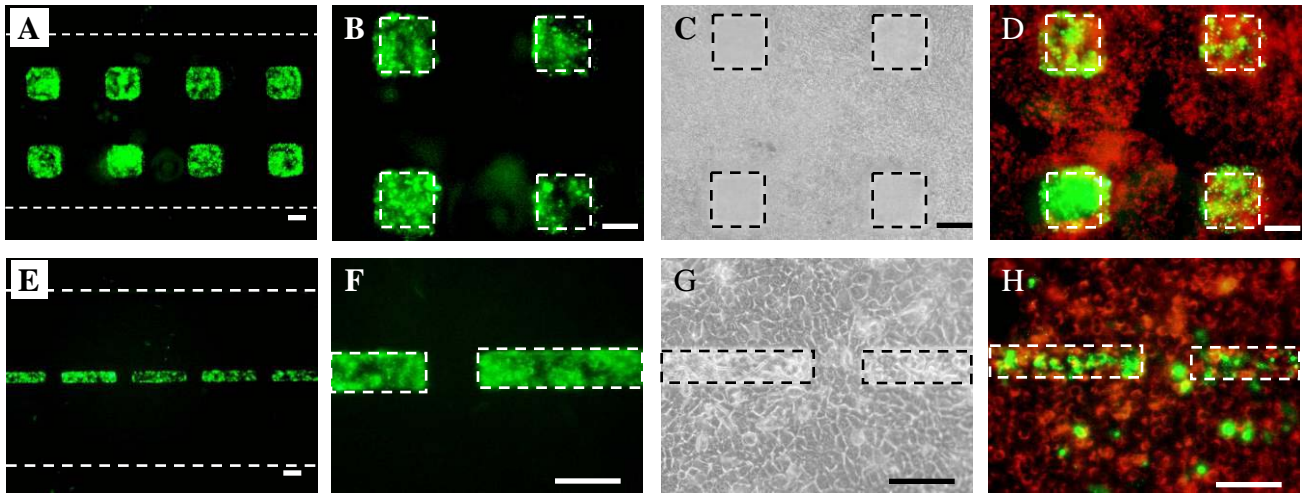


Fig. 4 Okuyama, et al.

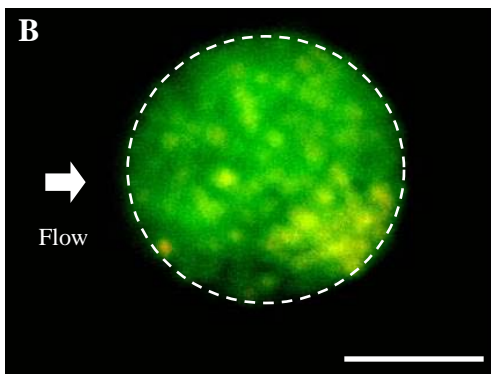
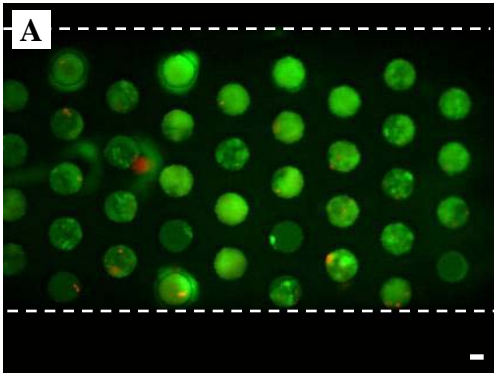


Fig. 5 Okuyama, et al.

